

地質学的手法で見た溶岩流の破壊の痕跡

Tuffen et al. (2003)とTuffen and Dingwell (2005)の レビューとその背景

最終回

Keywords: 剪断応力, 脆性破壊, 塑性変形, 歪み速度, annealing,
sintering, cooling

火山センター 野口 聰

Repeated Fracture and Healing process

phase 1: crackの形成(脆性破壊)

phase 2: fracture networkの形成

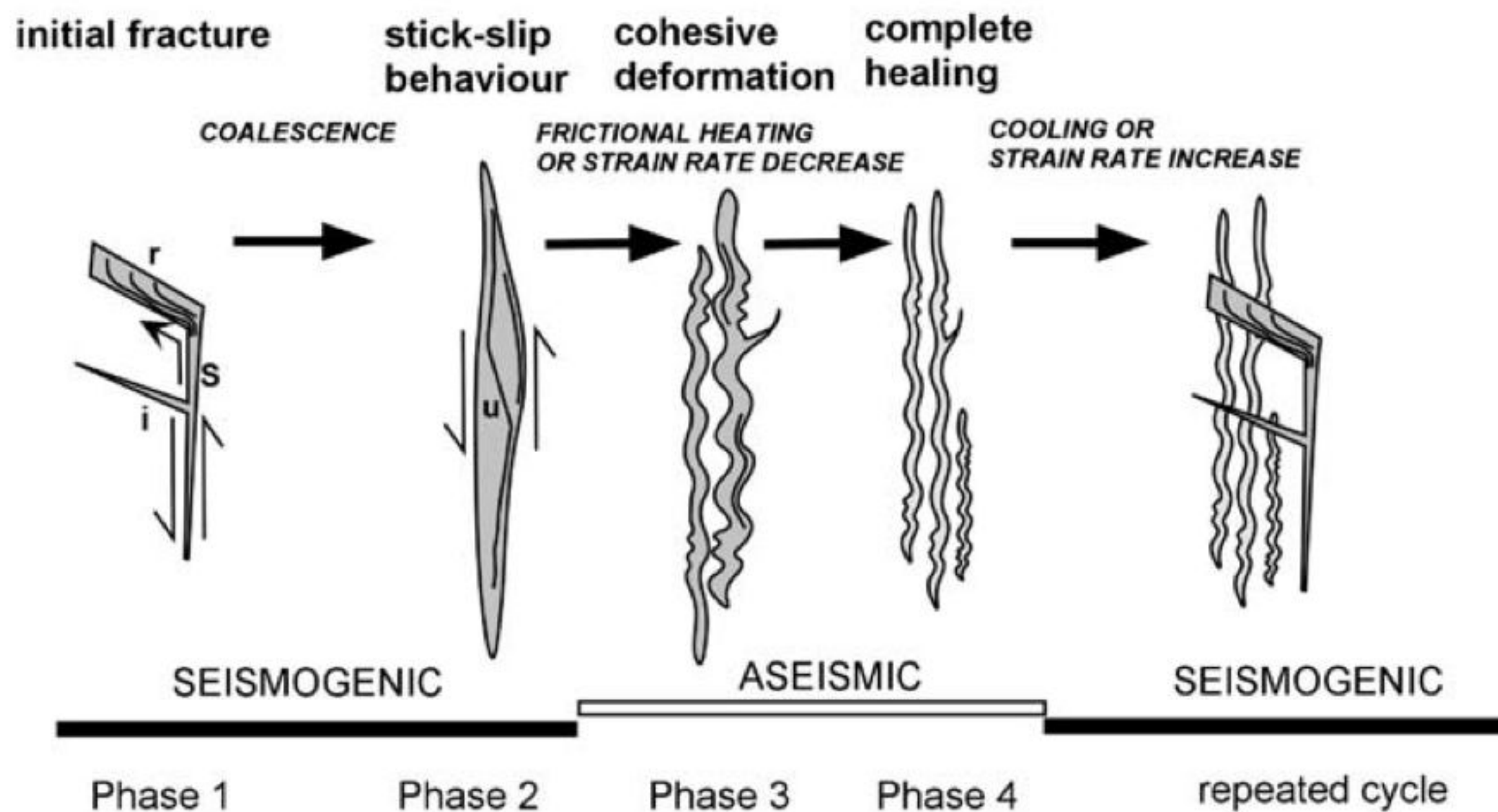
摩擦熱による温度上昇、局所すべりによる
粒子の細粒化

phase 3: cohesive deformationが起こる(塑性変形)

(温度上昇、歪み速度の低下)

annealing(結晶化と既存のtextureの記録(p1,2,3)が消える)

phase 4: flow bandの形成



脆性破壊 (seismogenic)

脆性破壊 → クラックの成長

- ・カタクレーサイト
- ・ガラス質のシードタキライト

塑性変形 (aseismic)

粒子同士がくっつく → 粘着性が増す
→ 塑性変形が生じる

- ・マイロナイト
- ・ウルトラマイロナイト

s:fault vein
i: injection vein
r: reservoir zone

Phase 1 Initial fracture

シュードタキライトの組織に似ている
→シュードタキライトの形成過程

剪断応力の蓄積により破壊強度
を超えて破碎が生じる。

$$\sigma_s + \frac{\eta_s}{G} \frac{\partial \sigma_s}{\partial t} = \varepsilon \eta_s$$

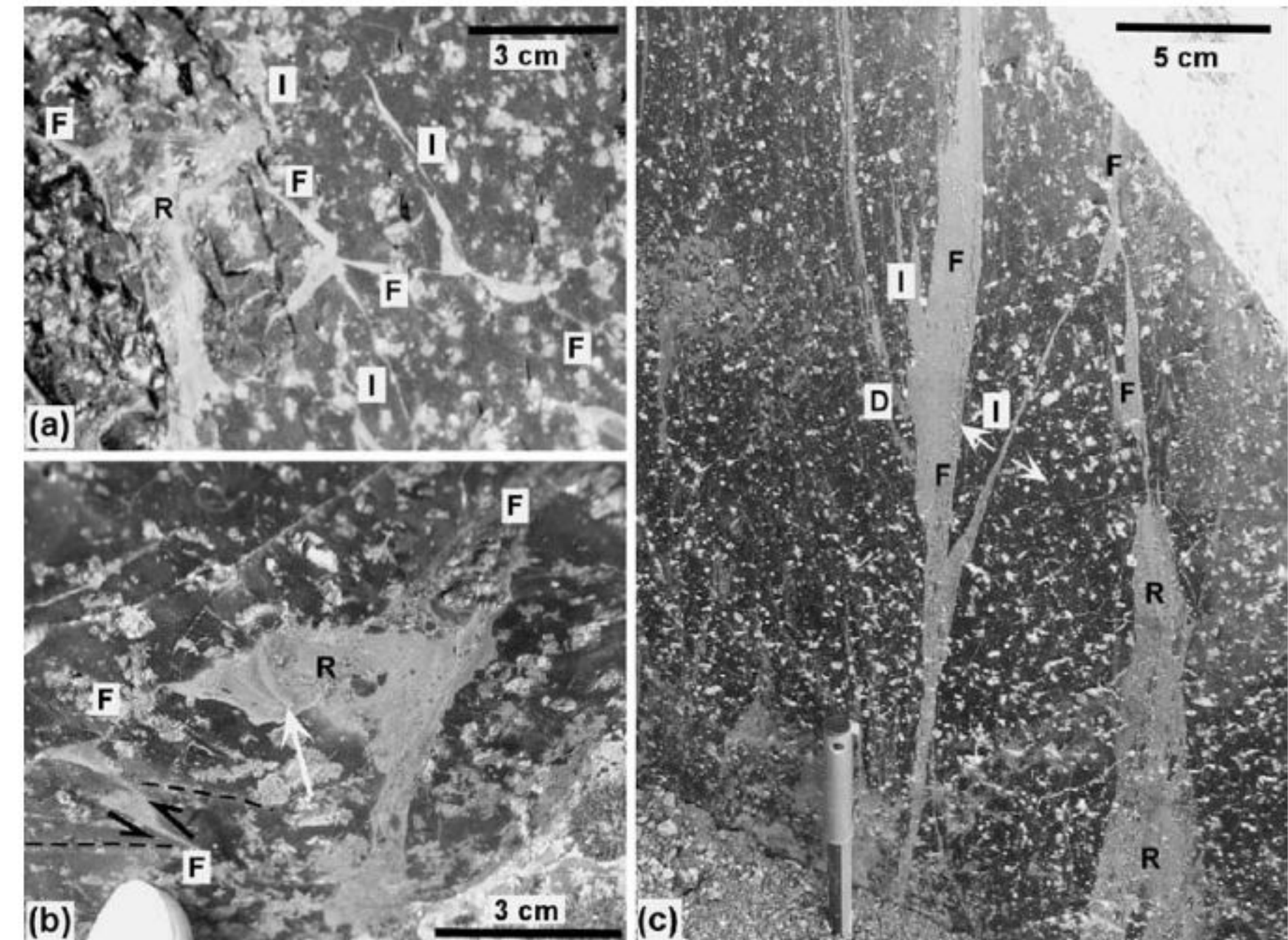
$$\varepsilon \eta_s > 10^8 \text{ Pa}$$

ε : strain rate $10^{-2} \sim 10^{-6} \text{ s}^{-1}$

η_s : viscosity $10^9 \sim 10^{14} \text{ Pa s}$

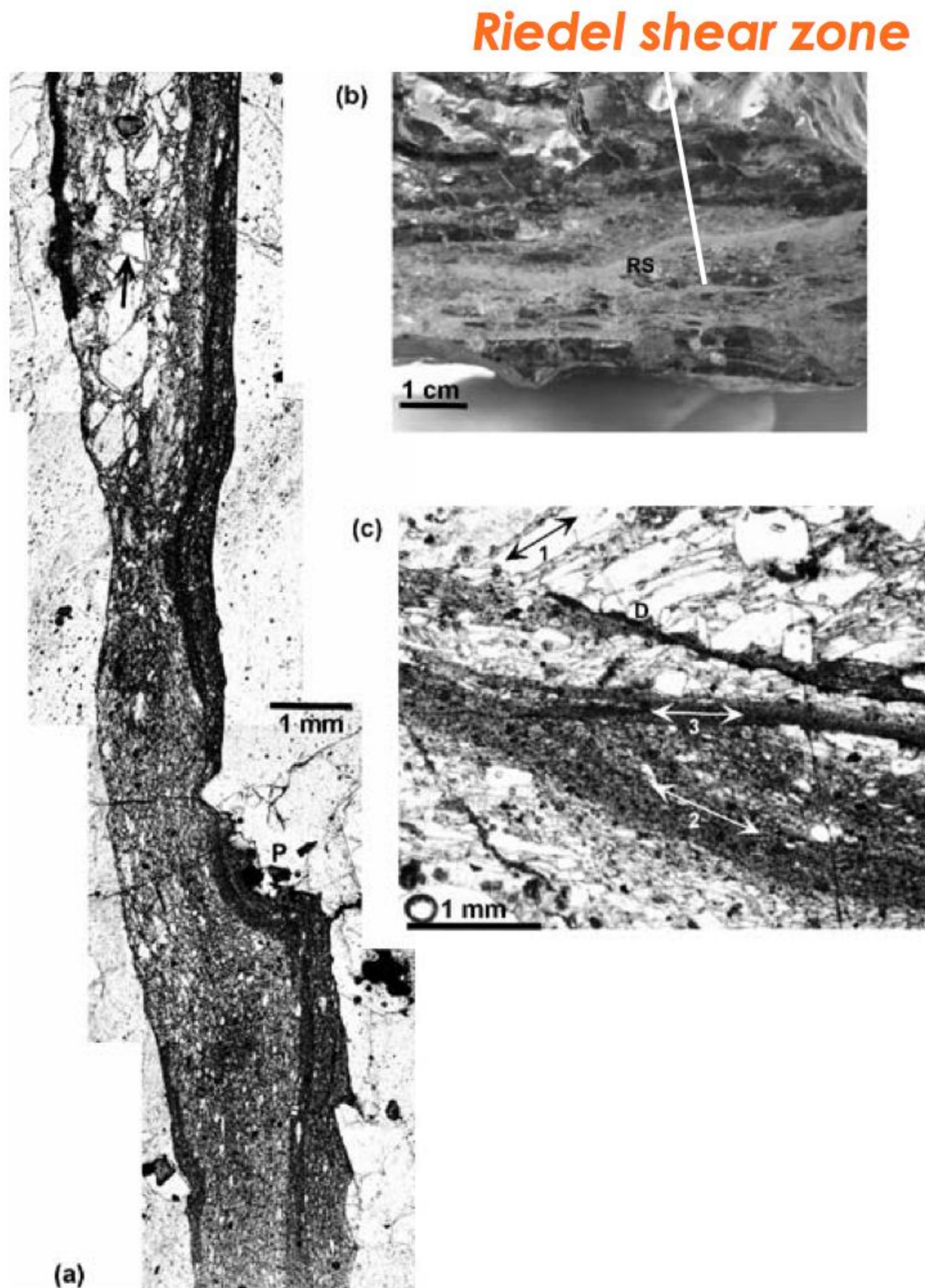
Tuffen et al. (2003)

詳しくは後で述べる・・・



1. 火道壁で剪断応力の蓄積が起り、脆性破壊が生じる
2. Fractureが形成される事で空間が生じ、一時的な圧力差が生じる
3. Veinの形成: fractureの壁の一部が摩耗し、粒子(破片)がガスと共にfracture内に取り込まれる

Phase 2 Slip on cataclasite shear zone



カタクレーサイト、ウルトラカタクレーサイトの形成過程

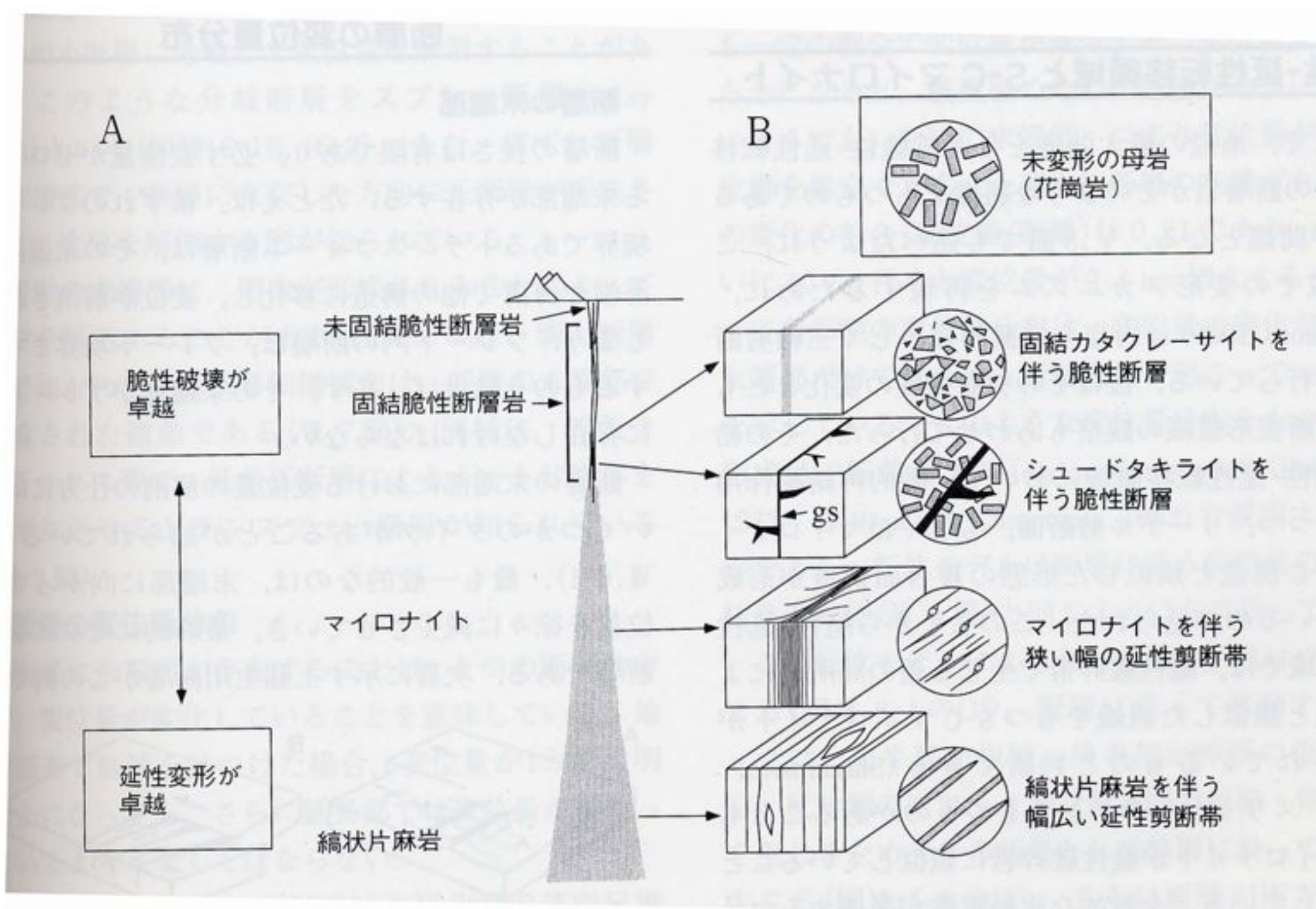
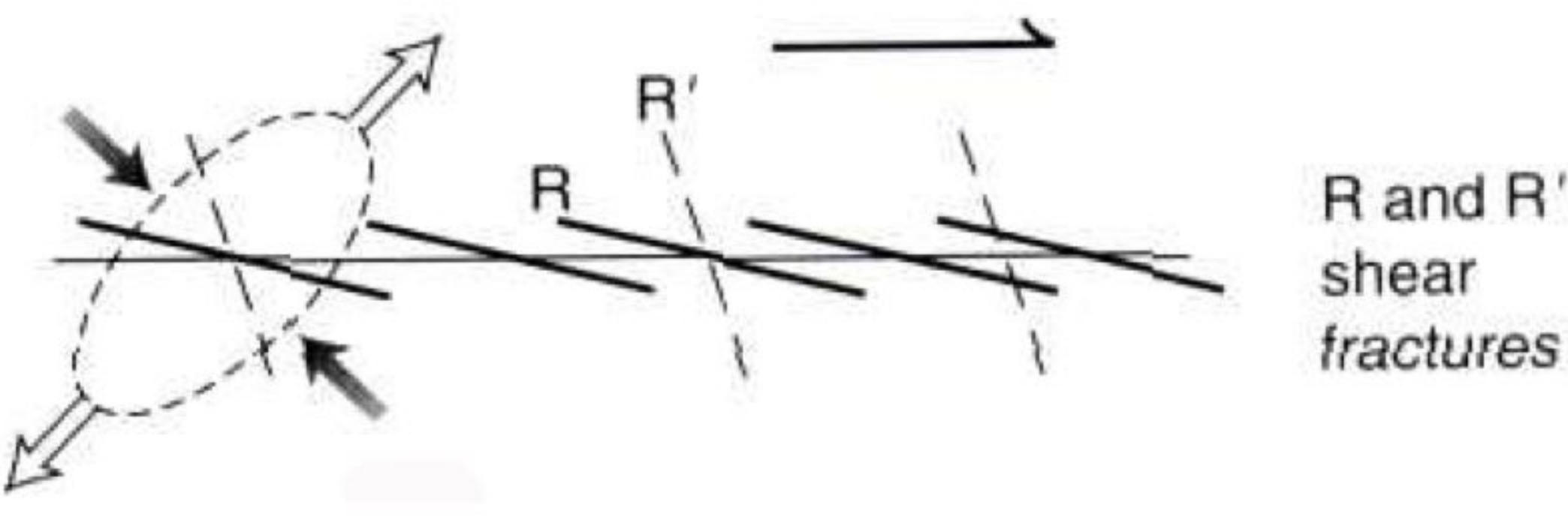
典型的な断層ガウジ、断層角礫、カタクレーサイトの形成過程と同様の形成プロセス

Initial fractureの形成からfracture networkの形成まで

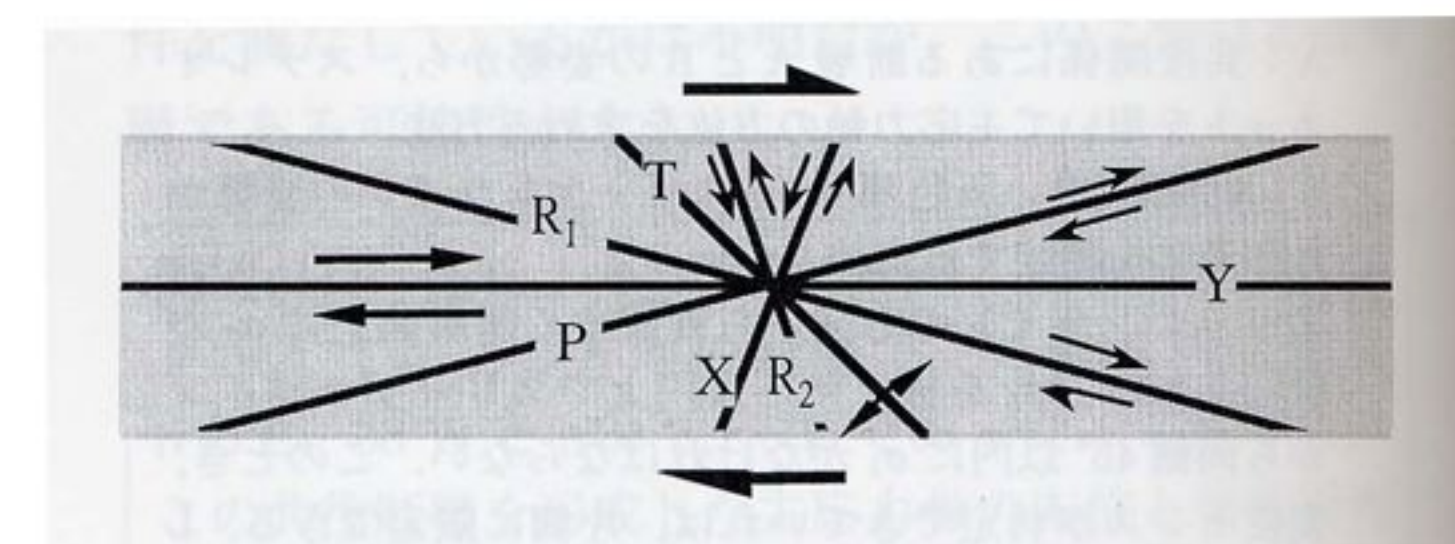
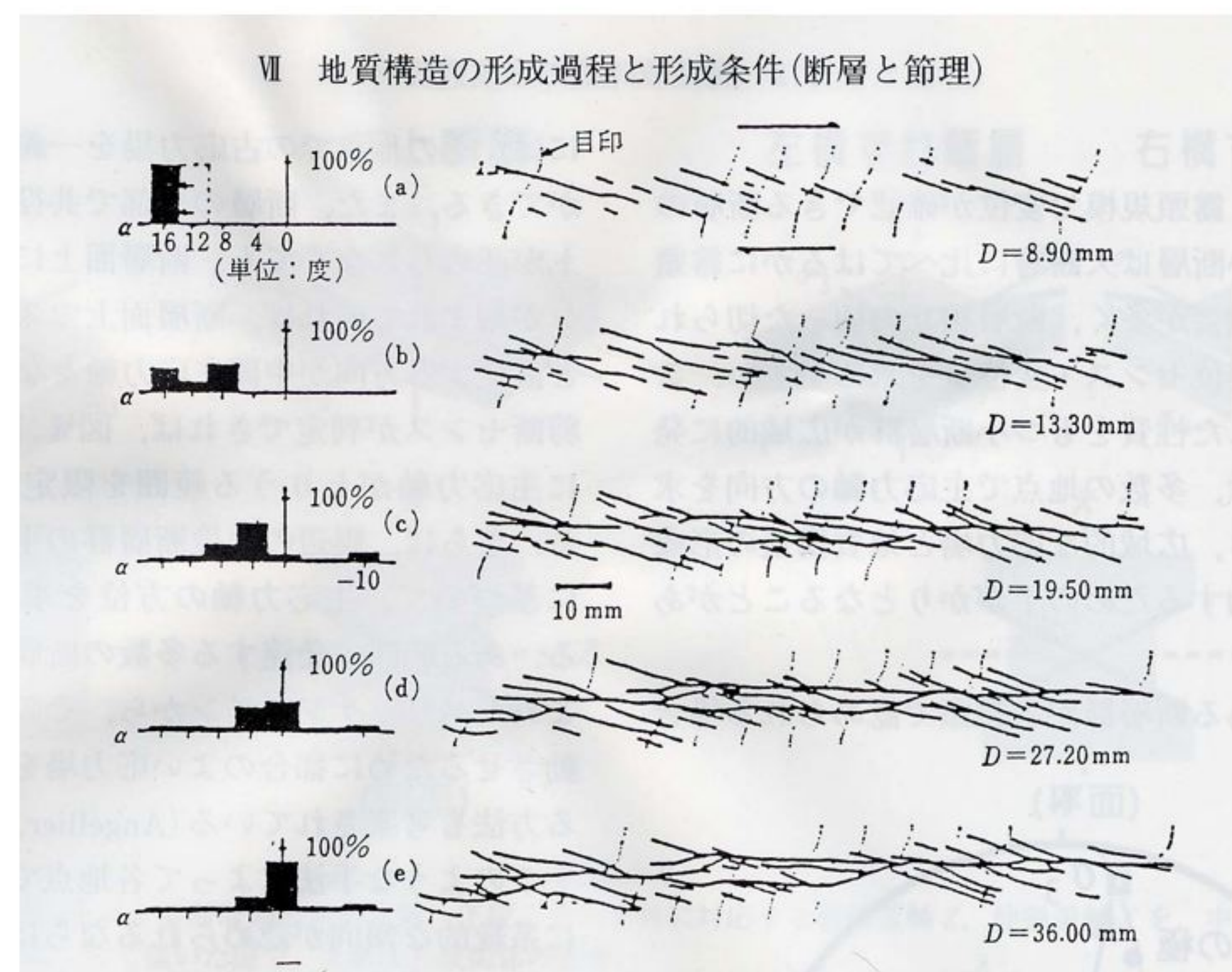
→断層の成長過程

アナログ実験により

Riedel shear experiment



変位量の増加



→シュードタキライトを伴う脆性断層

シュードタキライトの形成過程

粉碎説: 地震断層運動の衝撃破碎によって
形成される

溶融説: 地震時の急激な断層運動に伴う摩擦熱
により溶融した高温の液体が破碎岩片を伴って
破断面に貫入し、細粒基質部は急冷によって形
成される。

→ 厳密に定義されていない



ガラス質のシュードタキライト
SCEC homepageから

天然の観察事実から見ると、ガラス質のシュードタキライトは
溶融した組織を示す。

シュードタキライトは脆性・塑性転移領域を見ている可能性がある

Mcnulty, 1995

Phase 3 Ductile deformation of cataclasite zones

Cataclasiteが褶曲構造を示す

破片状結晶がbandに平行に配列している

破片状の粒子が自己破碎(fracture)していない

**Cataclasiteに粘着力(cohesion)があり
変形した**

Phase 2からphase 3の形成

ポイント: cohesive deformationが生じる為には、
strain rateの減少、温度上昇(正確には粘性低下)が必要

1. strain rateの減少

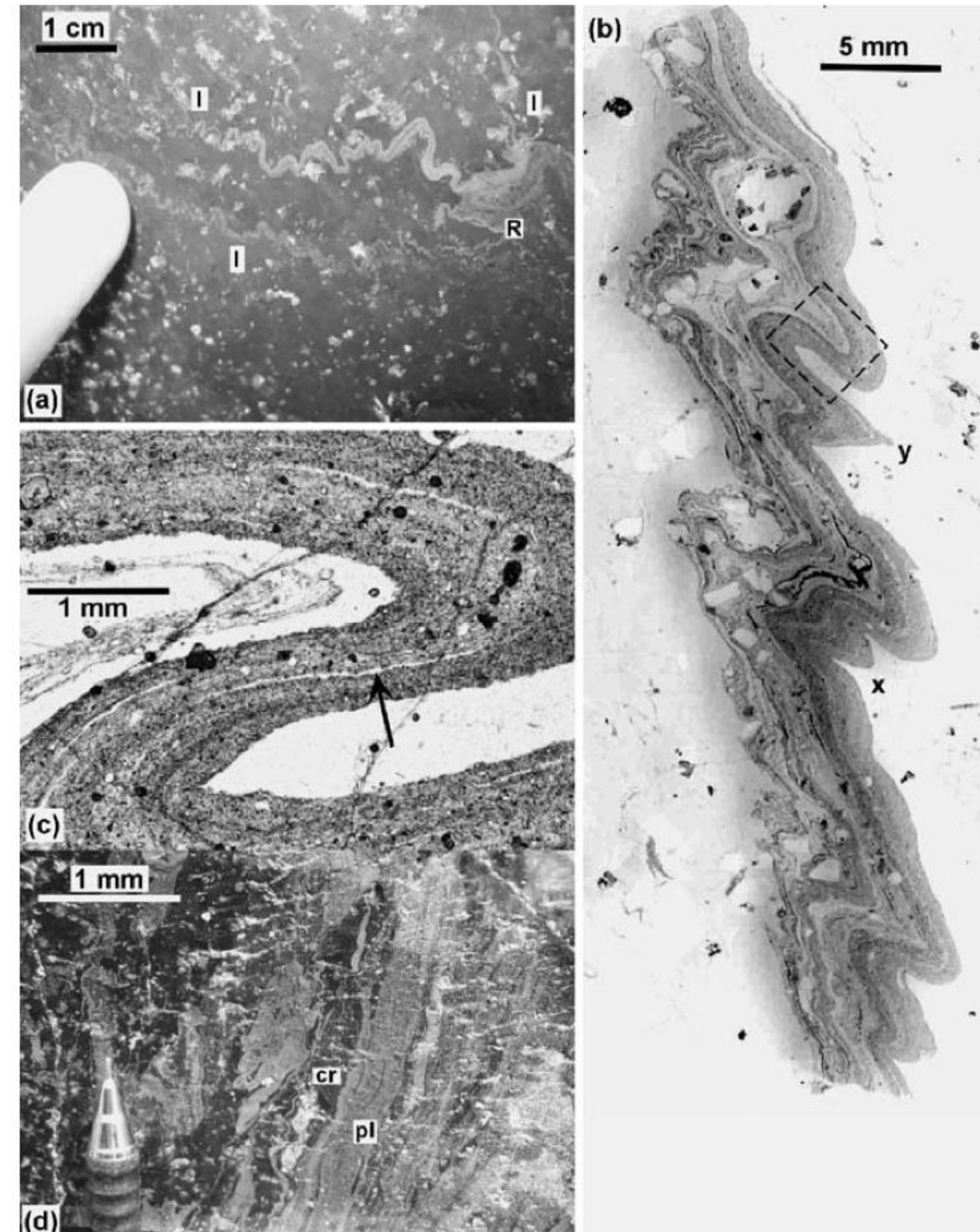
cohesive deformation

Strain rateが高いと粒子同士の境界面で局所すべりが生じるため

- fracture networkに伴い粗い粒子から細かい粒子になる; 粒径 10–100 μm

凝集性(sintering)が関係している!?

→ 粘着力が増加する



2. 温度の上昇 (Strain rate 一定)

cohesive deformationが生じる為には、
温度上昇も必要

annealing: ガラス転位点より上(液体の状態)
で結晶化が起こる(自由エネルギー
が最小の状態)

- ・摩擦熱により温度が上昇する
→ガラス転位点を超える→ annealing

ガラス転位点付近では粘性が二桁以上変化する 塑性変形になる

annealingが一度進行すると, slipは起こりにくくなる

Phase 3になると鉄チタン酸化物が大量に認められる

しばしばガラス質のシードタキライトでも認められる

→ 摩擦熱によりガラス転位点を超えた可能性がある
annealingによる結晶化

Phase 4 Formation of flow banding from healed cataclasite

Flow bandの特徴とそれぞれのbandの形成過程

4a: dark zone

破片状の結晶などが存在する

→phase2,3のcataclasite zoneの塑性変形で
できたもの

ガラス質シードタキライトに非常に類似して
いる

4b: 斑晶やmicroliteはband中に含ま れている

→phase 2–4a zoneの塑性変形で出来た。

4c: microlite大量に含まれる

→phase 3–4のmelting,結晶化によってできる

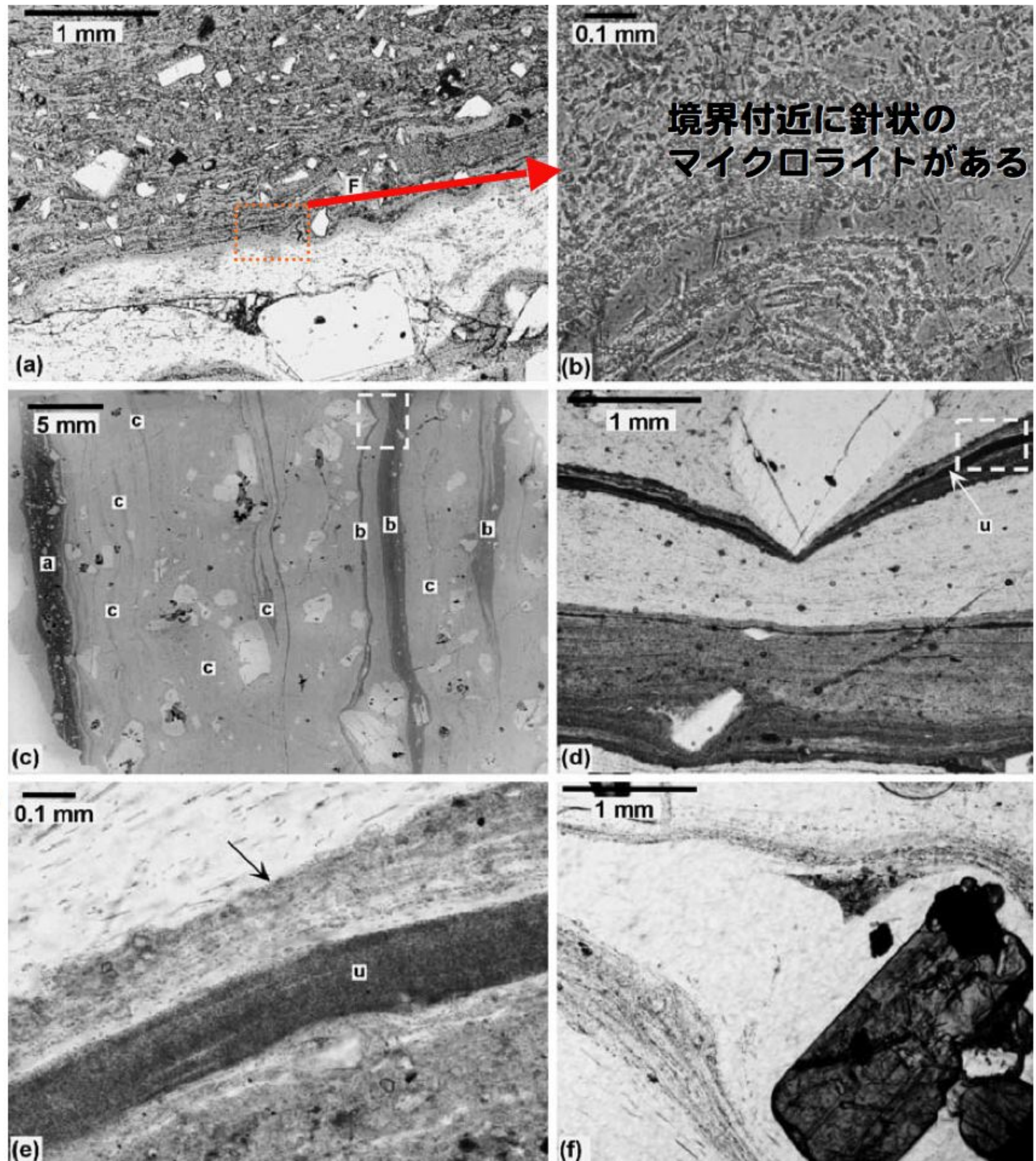
4a→4b→4cの順で進行する

Phase 4

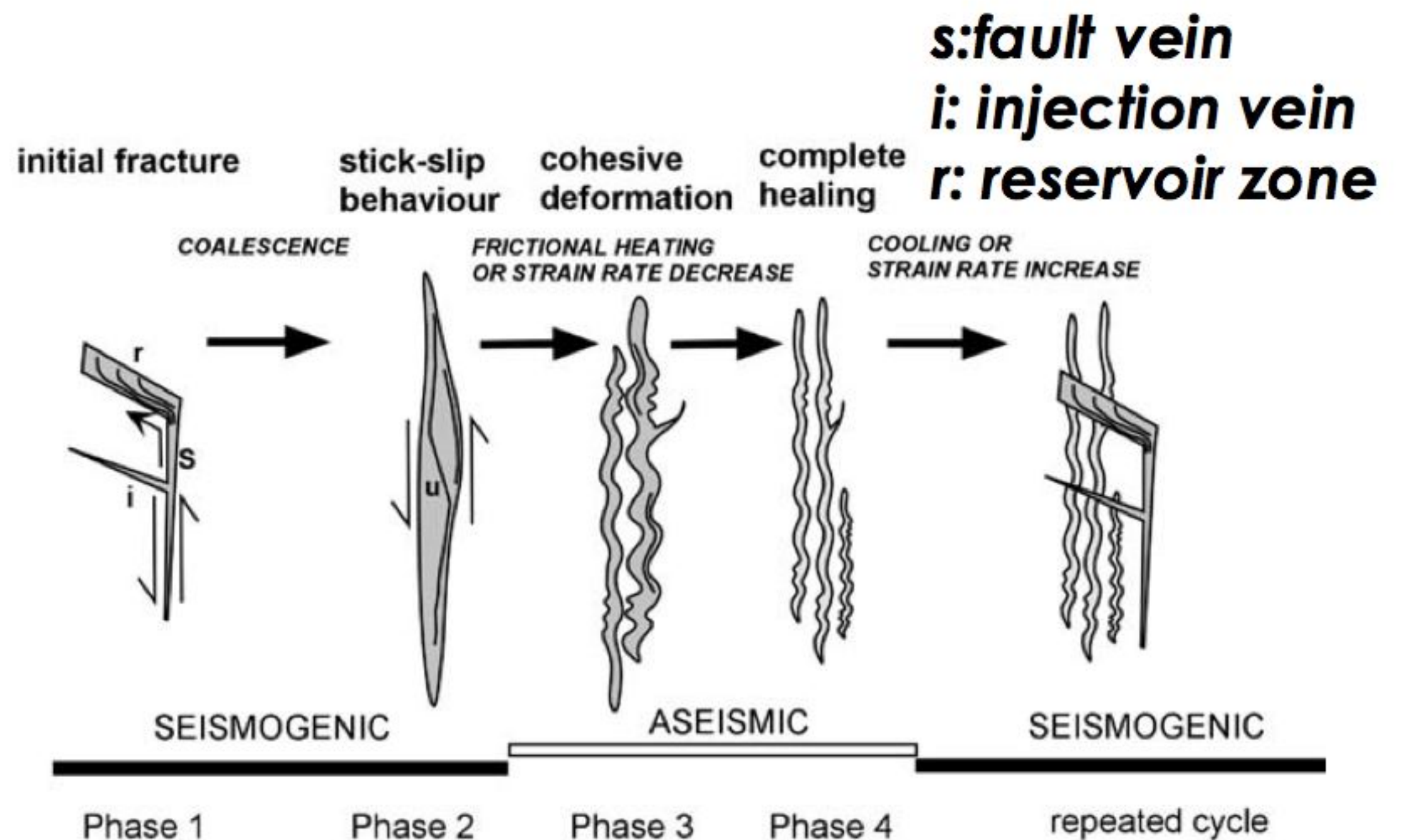
- annealingが起こる

→結晶化が起こる

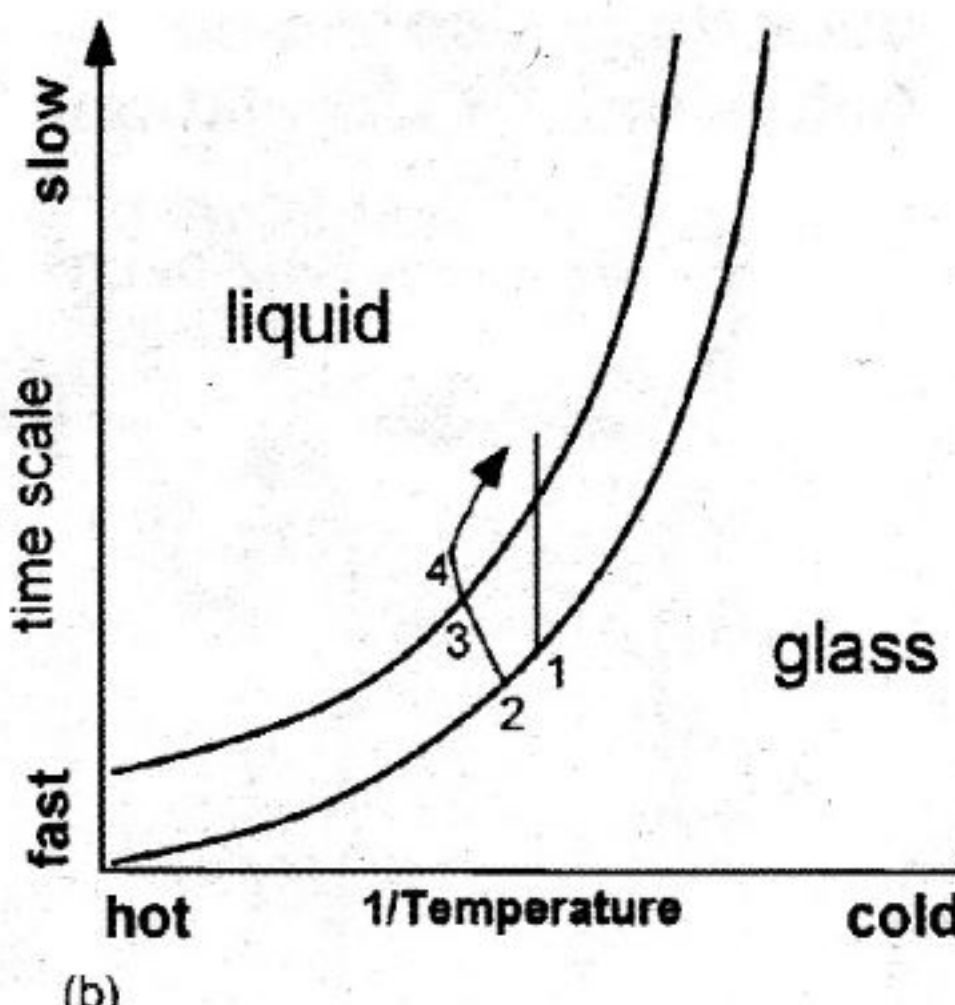
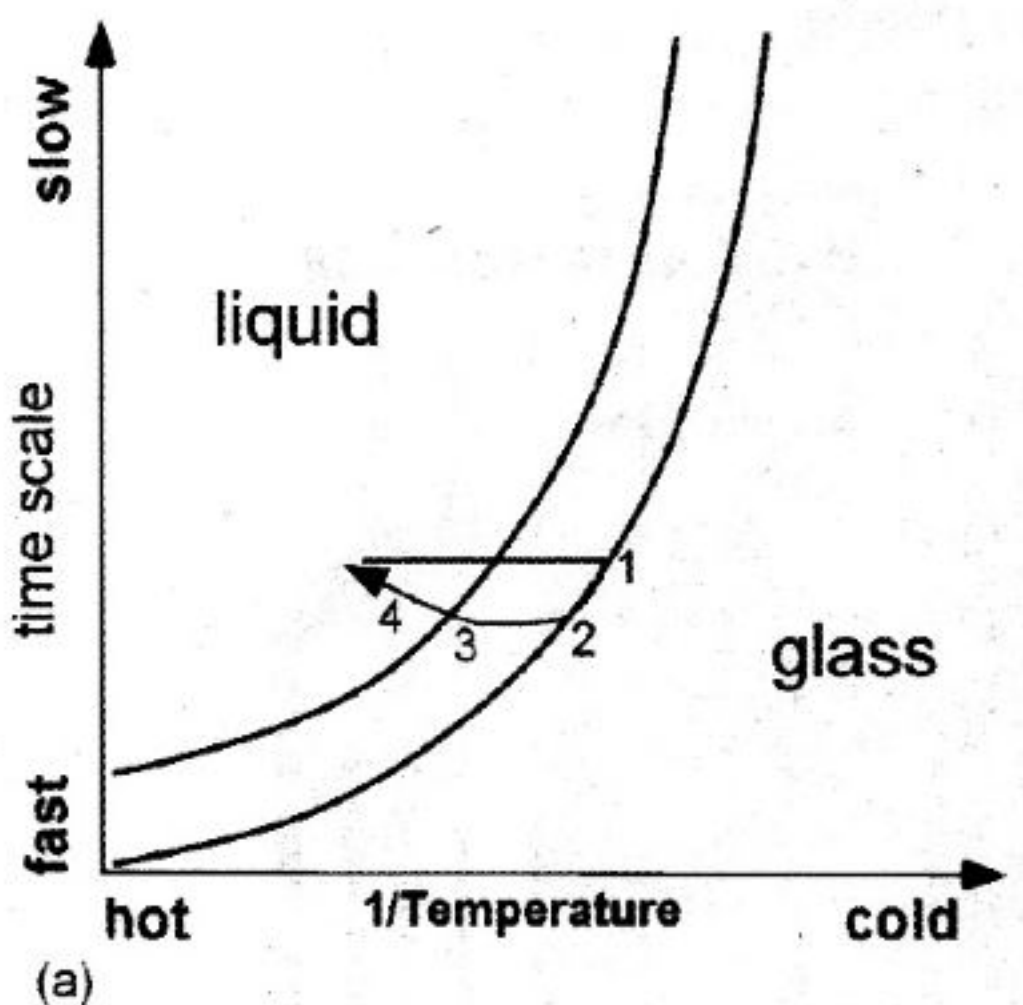
- textureの記録が消える



Cycle brittle–ductile deformation



Cooling
Constant strain rate **strain rate** **Constant temperature**



cooling:

- (1) 冷却によって塑的な状態から脆的になる→破壊
- (2) Frictional slip→温度上昇
- (3) 粒子の凝集(sintering)→annealing
- (4) 結晶化が進む→冷却されると(1)にもどる

strain rate:

- (1) Strain rateの増加
- (2) Strain rateがさらに増加
- (3) 粒子の細粒化→strain rate減少
- (4) 液体になる、再び増加すると(1)にもどる

phase 1: crackの形成(脆性破壊)

phase 2: fracture networkの形成

摩擦熱による温度上昇、局所すべりによる
粒子の細粒化

phase 3: cohesive deformationが起こ
る(塑性変形)

(温度上昇、歪み速度の低下)

annealing(結晶化と既存のtextureの記
録(p1,2,3)が消える)

phase 4: flow bandの形成

Faulting mechanisms ~火山性地震との関係~

火山性地震 マグマの上昇に伴い繰り返し起こる

長周期地震

Hybrid 地震

火山性構造地震

モーメントマグニチュードは-1~3

Tuffisite veinの規模からモーメントマグニチュードを推定すると・・・

モーメントマグニチュード

$$M_0 = DGA$$

Aは震源断層面積、Dは平均変位量、Gは剛性率

最大のサイズから見積もると(2005年)

$$D = 0.13 \text{ m}, G \sim 10^{10} \text{ Pa}, A = 25 \text{ m}^2$$

平均のveinのサイズ(2003年)

$$M_0 = -1 \sim 0.3$$

$$D = 10 \text{ mm}, G \sim 10^{10} \text{ Pa}, A = 3 \text{ m}^2$$

LP, Hybrid eventとよく一致する

Faulting mechanisms

Timescale of Repeated Fracture and Healing (RFH) process

fracture time t_f

$$\sigma_s + \frac{\eta_s}{G} \frac{\partial \sigma_s}{\partial t} = \varepsilon \eta_s \quad (1)$$

Webb and Dingwell (1990)

Initial condition: $\sigma_s=0$ at $t=0$

$$\sigma_{st} = \varepsilon \eta_s \left(1 - e^{-tG/\eta_s}\right) \quad (2)$$

σ_s : 剪断応力

η_s : 粘性

G : 剛性率

ε : 歪み速度

τ_s : 剪断強度

$$t_f = -\frac{\eta_s}{G} \ln \left(1 - \tau_s / \varepsilon \eta_s\right) \quad (3)$$

脆性破壊: $\varepsilon \eta_s$ が τ_s を超えることが条件

η_s : 10^9 - 10^{14} Pa·s

ε : 10^{-2} - 10^{-6} s $^{-1}$

G : 10^{10} Pa

τ_s : 10^6 Pa

ただし $\varepsilon \eta_s$ は 10^7 - 10^{10} Pa

t_f の値: 10^{-4} - 10^3 s

地震性

diffusion-related process t_d

annealing

~ relaxation timescale とする

$$t_d = \eta_s / G$$

10^{-1} - 10^4 s

viscous deformation t_v

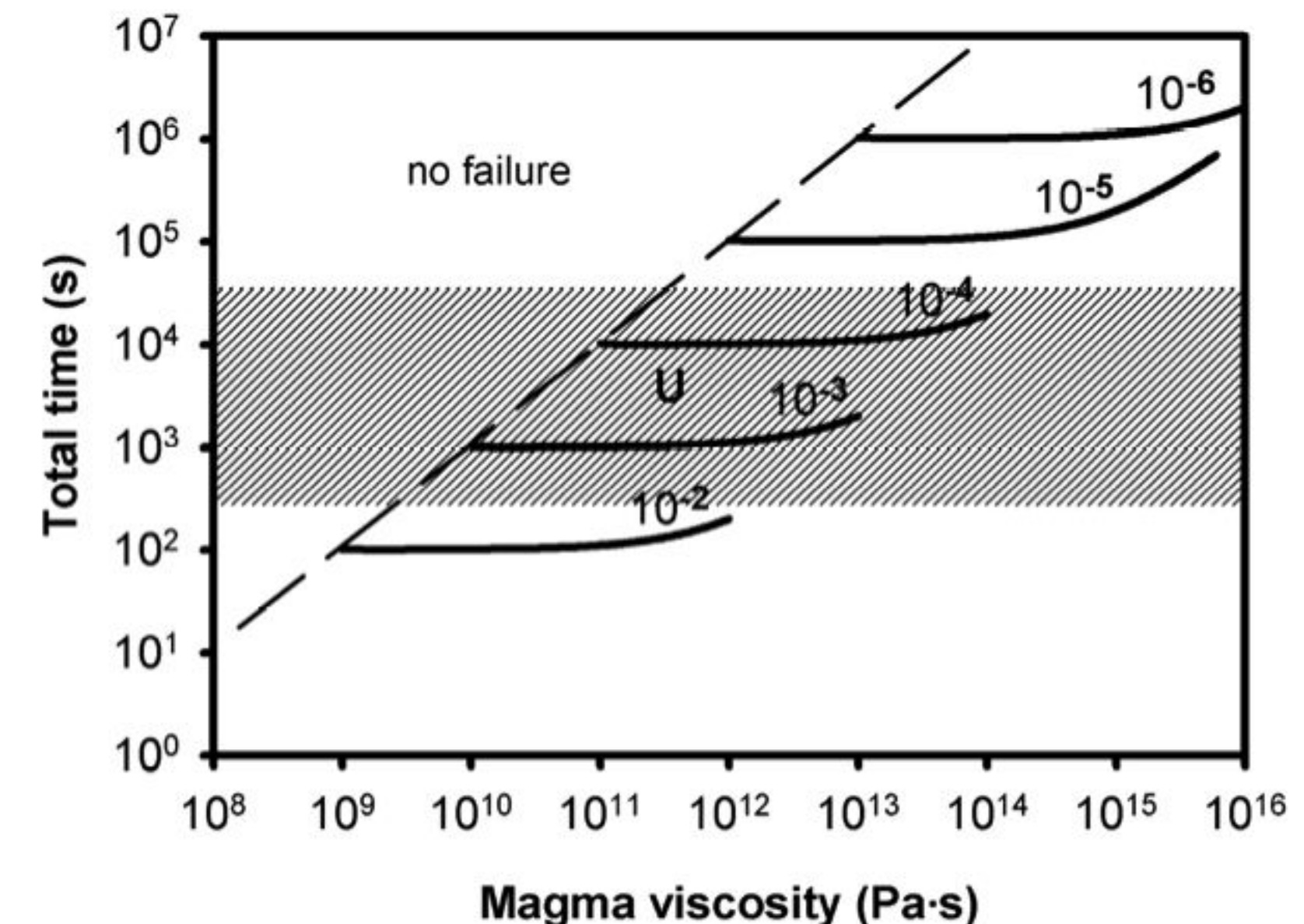
非地震性

$$t_v = 1 / \varepsilon$$

10^2 - 10^6 s

Dingwell, (1996,1997)

$$t_f + t_d + t_v = Total\ time$$



LP地震
Hybrid地震

数時間から数週間